

Наличие оптимального трения в поглотителе подтверждается экспериментальными исследованиями, приведенными в [8], там же описаны способы его увеличения.

**4. Выводы.** 1. Динамический поглотитель акустических колебаний в камере будет эффективным при совпадении собственных частот колебаний и некотором оптимальном значении коэффициента трения. 2. При малых значениях коэффициента трения наличие динамического поглотителя в камере может быть причиной возникновения автоколебаний. Это обусловлено тем, что камера с поглотителем имеет две близкие резонансные частоты, а это расширяет возможную полосу захвата частоты автоколебаний. 3. При больших значениях коэффициента трения динамический поглотитель акустических колебаний в камере сгорания может оказаться неэффективным.

#### ЛИТЕРАТУРА

1. Рэлей Дж. В. Теория звука.— М.: ГИГТЛ, 1940.— Т. 1, 2.
2. Ден-Гартог Дж. П. Теория колебаний.— М.: ОГИЗ, 1942.
3. Стрелков С. П. Введение в теорию колебаний.— М.; Л.: ОГИЗ, 1950.
4. Ахмадеев В. Ф., Гусева Г. Н., Козлов Л. Н. и др. Гидродинамические источники акустических колебаний.— М.: ЦНИИНТИ КПК, 1990.
5. Неустойчивость горения в ЖРД/Под ред. Д. Т. Харрье и Ф. Г. Рирдона.— М.: Мир, 1975.
6. Лайтхилл Дж. Волны в жидкостях.— М.: Мир, 1981.
7. Исаакович М. А. Общая акустика.— М.: Наука, 1973.
8. Ахмадеев В. Ф., Корляков В. Н., Козлов Л. Н. и др. Подавление акустических колебаний в камерах сгорания резонансными поглотителями.— М.: НПО «Информ ТЭИ», 1991.

г. Новосибирск,  
г. Пермь

Поступила 3/II 1992 г.,  
в окончательном варианте — 19/X 1992 г.

УДК 532.526

B. N. Ветлуцкий, T. V. Поплавская

#### ЧИСЛЕННЫЙ РАСЧЕТ ТРЕХМЕРНОГО ЛАМИНАРНОГО СЖИМАЕМОГО ПОГРАНИЧНОГО СЛОЯ НА ПРОФИЛИРОВАННЫХ ТРЕУГОЛЬНЫХ КРЫЛЬЯХ СО СВЕРХЗВУКОВЫМИ ПЕРЕДНИМИ КРОМКАМИ

Для исследования аэrodинамики крыльев большое значение имеет анализ коэффициентов трения и теплообмена на поверхности тела, которые определяются из расчета пограничного слоя на крыле. В настоящее время имеется ряд работ по численному расчету автомодельного сжимаемого пограничного слоя на конических телах [1—3]. Расчет пространственного сжимаемого ламинарного пограничного слоя на заостренном теле биэллиптического сечения выполнен в [4]. В [5] проведен расчет трехмерного пограничного слоя при ламинарном и турбулентном режимах течения на плоском треугольном крыле.

В настоящей работе описаны постановка задачи и алгоритм расчета пространственного сжимаемого ламинарного пограничного слоя на профилированном крыле со сверхзвуковыми передними кромками. Приведены результаты его реализации для наветренной и подветренной сторон крыла с углом стреловидности  $\chi = 45^\circ$  при числе Маха  $M_\infty = 3$  и для наветренной стороны крыла с тем же  $\chi$  при  $M_\infty = 3$  и 6 для ряда углов атаки  $\alpha$ . Исследовано влияние числа Маха, угла атаки и относительной толщины профиля на коэффициент трения и на его вклад в полное сопротивление крыла.

© B. N. Ветлуцкий, T. V. Поплавская, 1993

1. Поверхность крыла предполагается гладкой, и ее уравнение вида  $y = F(x, z)$  задается в декартовой системе координат  $(x, y, z)$  с началом в носике крыла (рис. 1). Плоскость  $z = 0$  совпадает с вертикальной плоскостью симметрии. Передние и задняя кромки крыла лежат в плоскости  $y = 0$ . Вектор скорости набегающего потока  $U_\infty$  лежит в вертикальной плоскости симметрии обтекаемого тела и составляет угол атаки  $\alpha$  с осью  $x$ .

Для описания пограничного слоя вводится неортогональная система координат  $(\xi, \eta, \zeta)$ , связанная с поверхностью тела:

$$\xi = x, \quad \zeta = 1 - z/f(x).$$

Здесь координата  $\zeta$  отсчитывается от передней кромки;  $\eta$  — нормаль к поверхности;  $z = f(x)$  — уравнение передней кромки. Все параметры обезразмерены по длине центральной хорды  $L$  и по значениям самих параметров в набегающем потоке (индекс  $\infty$ ), за исключением

$$\bar{\eta} = \eta \sqrt{Re_L}/L, \quad \bar{v} = v \sqrt{Re_L}/L, \quad \bar{p} = p/\rho_\infty U_\infty^2,$$

$$Re_L = \rho_\infty U_\infty L / \mu_\infty, \quad Pr = \mu_\infty c_{p\infty} / k_\infty, \quad M_\infty = U_\infty / \sqrt{\gamma R T_\infty}$$

(далее в уравнениях черточки опущены). В соответствии с [6] выписаны матрица  $B = |\beta_i^j|$  составляющих ковариантных базисных векторов, отвечающих осям  $\xi, \eta, \zeta$  ( $i, j = 1, 2, 3$ ), и метрические коэффициенты  $g_{11}, g_{12}, g_{22}, g$  [7].

Для того чтобы исключить особенность на передней кромке и уменьшить зависимость внешней границы пограничного слоя от продольной координаты, вводится новая переменная  $\lambda = \eta/\sqrt{\xi\zeta}$ . Тогда уравнения пограничного слоя в физических переменных [8] имеют вид

$$(1.1) \quad \xi\zeta \left[ \frac{\partial}{\partial\xi} (\rho u \sqrt{g/g_{11}}) + \frac{\partial}{\partial\zeta} (\rho w \sqrt{g/g_{22}}) \right] +$$

$$+ \sqrt{g} \frac{\partial J}{\partial\lambda} + \xi\rho w \sqrt{g/g_{22}}/2 + \zeta\rho u \sqrt{g/g_{11}}/2 = 0.$$

Уравнения движения и энергии с одинаковой структурой запишем как

$$(1.2) \quad a_i \frac{\partial f_i}{\partial\xi} + b_i \frac{\partial f_i}{\partial\zeta} + c_i \frac{\partial f_i}{\partial\lambda} - \frac{\partial}{\partial\lambda} \left( d_i \frac{\partial f_i}{\partial\lambda} \right) + e_i = 0 \quad (i = 1, 2, 3),$$

где

$$1) \quad f_1 = u, \quad a_1 = \xi\zeta\rho u / \sqrt{g_{11}}, \quad b_1 = \xi\zeta\rho w / \sqrt{g_{22}}, \quad c_1 = J, \quad d_1 = \mu, \quad e_1 =$$

$$= \xi\zeta (A_6 - A_4);$$

$$2) \quad f_2 = w, \quad a_2 = \xi\zeta\rho u / \sqrt{g_{11}}, \quad b_2 = \xi\zeta\rho w / \sqrt{g_{22}}, \quad c_2 = J, \quad d_2 = \mu, \quad e_2 =$$

$$= \xi\zeta (B_6 - B_4);$$

$$3) \quad f_3 = T, \quad a_3 = c_p \xi\zeta \rho u / \sqrt{g_{11}}, \quad b_3 = c_p \xi\zeta \rho w / \sqrt{g_{22}}, \quad c_3 = c_p J, \quad d_3 = k/Pr,$$

$$e_3 = \xi\zeta (A_5 u + B_5 w) - M_\infty^2 (\gamma - 1) \mu \left[ \left( \frac{\partial u}{\partial\lambda} \right)^2 + \left( \frac{\partial w}{\partial\lambda} \right)^2 + 2 \cos \varphi \frac{\partial u}{\partial\lambda} \frac{\partial w}{\partial\lambda} \right].$$

Замыкается система уравнений (1.1), (1.2) уравнением состояния

$$\rho = \gamma M_\infty^2 p / T.$$

Здесь вместо составляющей скорости  $v$  введен поток массы

$$J = \rho \left( \sqrt{\xi} v - \frac{\eta}{2\sqrt{\xi g_{11}}} u \right) \sqrt{\zeta} - \frac{\eta \sqrt{\xi}}{2\sqrt{\zeta g_{22}}} \rho w;$$

$\varphi$  — угол между осями координат  $\xi, \zeta$ ;  $\cos \varphi = g_{12} / \sqrt{g_{11}g_{22}}$ ;  $A_1, A_2, A_3, B_1, B_2, B_3$  взяты в том же виде, что и в [8].

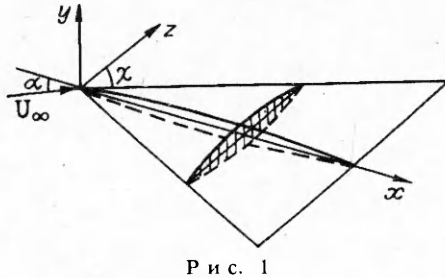


Рис. 1

Система уравнений (1.1), (1.2) решается в области  $\Omega$  ( $\xi \geq \xi_0$ ,  $0 \leq \zeta \leq \zeta_k$ ,  $0 \leq \lambda \leq \lambda_e(\xi, \zeta)$ ) при следующих граничных условиях:

$$\xi = \xi_0, \quad u = u_0(\zeta, \lambda), \quad w = w_0(\zeta, \lambda), \quad T = T_0(\zeta, \lambda);$$

$$\zeta = 0: \quad u = u_\delta(\xi, \lambda), \quad w = w_\delta(\xi, \lambda), \quad T = T_\delta(\xi, \lambda);$$

$$\lambda = 0: \quad u = w = J = 0, \quad T = T_w;$$

$$\lambda = \lambda_e(\xi, \zeta): \quad u = u_e(\xi, \zeta), \quad w = w_e(\xi, \zeta), \quad T = T_e(\xi, \zeta), \quad p = p_e(\xi, \zeta).$$

Индекс  $e$  соответствует значениям параметров на внешней границе пограничного слоя,  $w$  — на поверхности крыла. Сечение  $\xi = \xi_0$  задано на коническом носике тела, профили  $u_0$ ,  $w_0$ ,  $T_0$  берутся из автомодельного решения для носика. На передней кромке  $\zeta = 0$  профили  $u_\delta$ ,  $w_\delta$ ,  $T_\delta$  определяются из решения обыкновенных дифференциальных уравнений, полученных из (1.1), (1.2) при  $\zeta \rightarrow 0$  в предположении ограниченности всех искомых функций и их производных [7]. На поверхности тела ( $\lambda = 0$ ) заданы обычные для вязкой жидкости условия прилипания и равенство температур газа и стенки. На внешней границе ( $\lambda = \lambda_e(\xi, \zeta)$ ) параметры пограничного слоя берутся из расчетов обтекания крыла невязким газом [9, 10] и интерполируются сглаживающим кубическим сплайном, как и уравнение поверхности крыла.

Для повышения точности счета при равномерной разностной сетке вводятся новые независимые переменные  $(t, s, n)$ , с помощью которых можно растянуть область больших градиентов искомых функций. Для этого выполнена замена

$$\xi = t, \quad \zeta = \zeta(s), \quad \lambda = \lambda(t, s, n),$$

где  $\zeta(s)$  взято в виде полинома третьей степени, сгущающего узлы разностной сетки у плоскости симметрии крыла. Преобразование  $\lambda(t, s, n)$  задаем так, чтобы в области больших градиентов функций в  $\lambda$ -направлении шаги разностной сетки в физических переменных были малыми [7].

2. Вначале маршевым методом по координате  $s$  рассчитывался автомодельный пограничный слой на коническом участке, для этого бралась чисто неявная схема. Полученные значения газодинамических параметров  $u_0$ ,  $w_0$ ,  $T_0$  задавались в качестве начальных условий в сечении  $t = t_0$  на коническом участке. Затем маршевым методом по координате  $t$  решались трехмерные уравнения пограничного слоя. Использовалась двухслойная неявная разностная схема с весами, абсолютно устойчивая при значениях весового множителя  $0,5 \leq \theta \leq 1,0$ , подробно описанная в [11].

По найденным профилям скорости и температуры в каждом сечении вычислялись компоненты коэффициентов напряжения трения и число Стантона на поверхности тела:

$$c_{f1}^* = c_{f1} \sqrt{Re_\xi} \zeta = \frac{\tau_\xi}{0,5 \rho_\infty U_\infty^2} \sqrt{Re_\xi} \zeta,$$

$$c_{f2}^* = c_{f2} \sqrt{Re_\xi} \zeta = \frac{\tau_\xi}{0,5 \rho_\infty U_\infty^2} \sqrt{Re_\xi} \zeta,$$

$$c_f^* = \sqrt{c_{f1}^{*2} + c_{f2}^{*2} + 2c_{f1}^* c_{f2}^* \cos \varphi}, \quad St^* = St \sqrt{Re_\xi} \zeta = \frac{q}{\rho_\infty U_\infty (h_\infty - h_w)} \sqrt{Re_\xi} \zeta.$$

Здесь  $Re_\xi$  — число Рейнольдса, вычисляемое по параметрам набегающего потока и расстоянию от носика тела  $\xi$ ;  $\tau_\xi$ ,  $\tau_\zeta$  — компоненты вектора напряжения трения;  $q$  — тепловой поток на поверхности крыла;  $h$  — полная энтальпия.

Кроме того, насчитывался суммарный вклад сил трения на поверхности крыла в коэффициенты аэродинамической продольной и нормальной сил, которые определялись по формулам

$$CF_x^* = CF_x \sqrt{Re_L} = \frac{X_T \sqrt{Re_L}}{(1/2) \rho_\infty U_\infty^2 S} = 2 \int_0^1 \int_0^1 \frac{c_{f1}^* \cos \gamma \cos \vartheta}{\sqrt{\zeta}} \sqrt{\xi} d\xi d\zeta,$$

$$CF_y^* = CF_y \sqrt{Re_L} = \frac{Y_T \sqrt{Re_L}}{(1/2) \rho_\infty U_\infty^2 S} = 2 \int_0^1 \int_0^1 \frac{c_{f1}^* \sin \gamma \cos \vartheta + c_{f2}^* \sin \vartheta}{\sqrt{\zeta}} \sqrt{\xi} d\xi d\zeta,$$

где  $X_t$ ,  $Y_t$  — суммарная сила трения в продольном и нормальном направлениях;  $\gamma$  — угол между вектором  $c_{f_1}$  и осью  $\xi$  в проекции на плоскость  $(\xi, \lambda)$ ;  $\vartheta$  — угол между вектором  $c_{f_1}$  и осью  $\xi$  в проекции на плоскость  $(\xi, \zeta)$ ;  $S$  — площадь поверхности крыла. Вычисление интегралов проводилось по формуле трапеций. Исключение составляет окрестность передней кромки, здесь значения интегралов определялись аналитически. Общее сопротивление крыла  $CX_0$  находилось по формуле

$$CX_0 = C_x + CF_x$$

( $C_x$  — волновое сопротивление, взятое из расчетов невязкого обтекания,  $CF_x$  — коэффициент сопротивления трения, пересчитанный в скоростную систему координат для заданного  $Re_L$ ).

Более подробно постановка задачи и алгоритм решения трехмерных уравнений пограничного слоя описаны в [7].

3. Первоначально созданная программа апробирована сравнением результатов расчета с собственными результатами для плоской пластины [3] и с данными [5]. Результаты этих сравнений приведены в [7]. Далее ламинарный пограничный слой рассчитан при одном энтальпийном факторе  $H_w = h_w/h_\infty = 0,57$  для двух профилированных крыльев с одинаковым углом стреловидности  $\chi = 45^\circ$  и с уравнениями поверхностей [9, 10]

$$F(\xi, \zeta) = 4c(1 - (1 - \zeta)^{1.5})(1 - \xi)^{1.0526},$$

$$G(\xi, \zeta) = 4c(1 - (1 - \zeta)^2)(1 - \xi)^{1.047},$$

где  $c$  — относительная толщина наветренной поверхности  $c_n$  и подветренной  $c_b$ . Все рассмотренные варианты приведены в габл. 1.

На рис. 2 представлены распределения параметров  $c_f^*$  и  $St^*$  на наветренной поверхности крыла  $G$  при  $c_n = 0,03$ ,  $M_\infty = 3$ ,  $\alpha = 5^\circ$  в сечениях  $\zeta = 0; 0,52; 0,85$  (кривые 1—3). Здесь же изображен контур поверхности крыла в этих сечениях. Штриховыми линиями для сравнения даны значения  $c_f^*$  и  $St^*$  при тех же определяющих параметрах для плоской пластины в сечении  $\zeta = 0,52$ . Видно, что приведенные параметры на профилированном крыле превышают свои значения для плоской пластины на 30 %. Это объясняется тем, что местный угол атаки носовой части крыла приблизительно на  $5^\circ$  выше, чем на пластине. Аналогичная ситуация имеет место и при других углах атаки.

При  $M_\infty = 6$  распределение коэффициента трения  $c_f^*$  на наветренной поверхности того же крыла и при тех же остальных определяющих парамет-

Таблица 1

Крыло	$\alpha$ , град	$M_\infty$		
		3		6
		$c_b$ ( $CF_x^*$ )	$c_n$ ( $CF_x^*$ )	$c_n$ ( $CF_x^*$ )
$F$	0	0,05 (2,038)	0,05 (2,038)	—
	5	0,05 (1,784)	0,04 (2,224)	—
	8	0,05 (1,630)	0,03 (2,291)	—
$G$	0	—	0,03 (1,990)	0,03 (1,910)
	5	—	0,03 (2,222)	0,03 (2,521)
	10	—	—	0,03 (3,128)

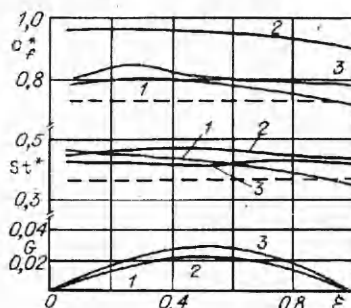


Рис. 2

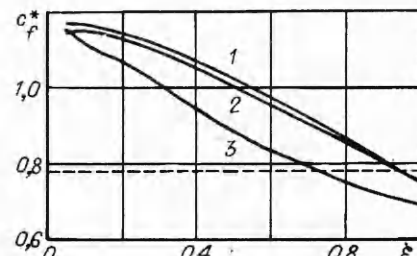


Рис. 3

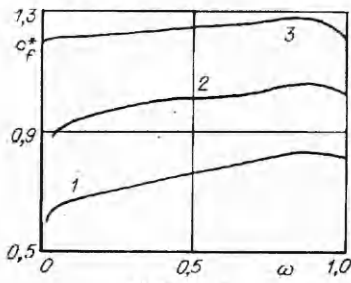


Рис. 4

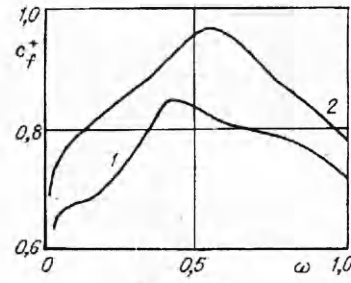


Рис. 5

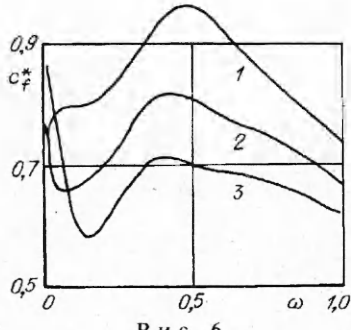


Рис. 6

рах представлено на рис. 3. Здесь нумерация кривых та же, что и на рис. 2. При  $M_\infty = 6$  значение  $c_f^*$  на носике более существенно превышает его значение на плоской пластине, чем при  $M_\infty = 3$ . Однако далее оно начинает падать из-за более интенсивного нарастания толщины пограничного слоя.

Расчеты при  $M_\infty = 6$  и  $\alpha = 0 \div 10^\circ$  показали, что характер поведения кривых  $c_f^*$  и  $St^*$  на наветренной стороне сохраняется. Лишь изменяется их абсолютное значение приблизительно на 25 % при увеличении  $\alpha$  на  $5^\circ$ . Это иллюстрирует рис. 4, на котором для  $\alpha = 0, 5, 10^\circ$  (линии 1—3) представлено распределение параметра  $c_f^*$  в зависимости от поперечной координаты  $\omega = 1 - \xi$  ( $\omega = 1$  соответствует передней кромке) в сечении  $\xi = 0,5$  крыла  $G$ . Аналогичное сопоставление распределения параметра  $c_f^*$  на наветренной стороне крыла  $G$  в сечении  $\xi = 0,5$  при  $M_\infty = 3$  выполнено на рис. 5 (кривые 1, 2 отвечают  $\alpha = 0, 5^\circ$ ). В отличие от  $M_\infty = 6$  обе кривые носят немонотонный характер.

Влияние угла атаки на распределение коэффициента трения  $c_f^*$  на подветренной стороне профилированного крыла  $F$  в сечении  $\xi = 0,5$  показано на рис. 6. Расчеты выполнены для  $c_b = 0,05$ ,  $M_\infty = 3$  и  $\alpha = 0, 5, 8^\circ$  (кривые 1—3). Характер кривых с ростом  $\alpha$  меняется слабо (за исключением окрестности плоскости симметрии, где располагается особая точка невязкого течения). Значение  $c_f^*$  здесь уменьшается на  $\sim 15\%$  при росте  $\alpha$  на  $5^\circ$ . Таким образом, из рис. 4—6 следует, что при одинаковых толщинах профиля и числах Маха кривые  $c_f^*$  (а также  $St^*$ ) при разных углах атаки качественно похожи друг на друга.

В табл. 1 под значениями относительной толщины наветренной  $c_h$  и подветренной  $c_b$  поверхностей крыла приведены значения суммарного по данной поверхности автомодельного коэффициента трения  $CF_x^* = CF_x \sqrt{Re_L}$ , который при увеличении угла атаки практически линейно растет для наветренной стороны и убывает для подветренной. При этом скорость роста при  $M_\infty = 6$  почти в 2 раза выше, чем при  $M_\infty = 3$ .

Таблица 2

$M_\infty$	$c_h$	$\alpha$ , град					
		0			5		
		$CF_x$	$CX_0$	$\frac{CF_x}{CX_0}$ , %	$CF_x$	$CX_0$	$\frac{CF_x}{CX_0}$ , %
3	0	0,0053	0,0053	100	0,0061	0,0261	23
	0,03	0,0062	0,0093	67	0,0070	0,0325	21,5
6	0	0,0050	0,0050	100	0,0068	0,0137	49,5
	0,03	0,0060	0,0076	79	0,0080	0,0190	43

Вклад суммарного напряжения трения  $CF_x$  в полное сопротивление  $CX_0$  для каждой поверхности крыла был оценен при  $Re_L = 10^5$  (число Рейнольдса вычислено по параметрам набегающего потока и длине центральной хорды). В табл. 2 приведены указанные величины для наветренной стороны крыла  $G$  при  $c_h = 0,03$ ,  $M_\infty = 3$  и  $6$ ,  $\alpha = 0$  и  $5^\circ$ . Здесь же для сравнения даны их значения для плоской треугольной пластины при тех же определяющих параметрах [3]. Видно, что с ростом  $M_\infty$  значение  $CF_x$  при  $\alpha = 0$  несколько уменьшается, а при  $\alpha = 5^\circ$  увеличивается. Однако при этом существенно падает волновое сопротивление, что приводит к росту вклада сил трения от 67 до 79 % при  $\alpha = 0$  и от 21,5 до 43 % при  $\alpha = 5^\circ$ .

По данным табл. 2 можно оценить влияние относительной толщины крыла на характеристики пограничного слоя. Значение  $CF_x$  для профилированного крыла по сравнению с треугольной пластиной возрастает в среднем на 15 %. Однако при этом существенно увеличивается волновое сопротивление, что приводит к уменьшению вклада сил трения в полное сопротивление по сравнению с плоской треугольной пластиной. Аналогичное явление наблюдается при увеличении угла атаки: Хотя значение  $CF_x$  при увеличении  $\alpha$  от 0 до  $5^\circ$  растет, волновое сопротивление увеличивается при этом значительно, и поэтому вклад сил трения падает от 67 до 21,5 % при  $M_\infty = 3$  и от 79 до 43 % при  $M_\infty = 6$ .

Проведена оценка вклада сил трения при  $M_\infty = 3$  в полное сопротивление всего крыла, наветренная сторона которого образована поверхностью  $G$  ( $c_h = 0,03$ ), а подветренная — поверхностью  $F$  ( $c_b = 0,05$ ). Оценка выполнена при  $H_w = 0,57$  и  $Re_L = 10^5$ . Получено, что при увеличении  $\alpha$  от 0 до  $5^\circ$  суммарное значение  $CF_x$  практически не меняется (0,0126 и 0,0125), при этом полное сопротивление  $CX_0$  существенно возрастает (0,0225 и 0,0527) за счет волнового сопротивления, что приводит к падению вклада сил трения от 56 до 24 %.

Заметим, что коэффициент сопротивления трения  $CF_x$  для рассмотренных вариантов может быть легко пересчитан на любые числа Рейнольдса делением  $CF_x^*$  на  $\sqrt{Re_L}$ . Влияние энтальпийного фактора  $H_w$  на параметры пограничного слоя было изучено ранее на модели плоской треугольной пластины [3].

#### ЛИТЕРАТУРА

- Башкин В. А. Ламинарный пограничный слой в сжимаемом газе при коническом внешнем течении // Тр. ЦАГИ.— 1968.— Вып. 1093.
- Ветлуцкий В. Н., Ганимедов В. Л. К численному решению задачи о пограничном слое на эллиптическом конусе // ЧММСС.— 1977.— 1, 8, № 5.
- Ветлуцкий В. Н., Поплавская Т. В. Сжимаемый ламинарный пограничный слой на плоской треугольной пластине с присоединенной ударной волной // ПМТФ.— 1985.— № 5.
- Ветлуцкая Л. М., Ветлуцкий В. Н. К расчету сжимаемого ламинарного пограничного слоя на заостренном теле // ЧММСС.— 1986.— Т. 17, № 5.
- Щекин Г. А. Численный расчет трехмерного пограничного слоя в ламинарной и турбулентной областях течения на крыле при сверхзвуковых скоростях полета // Экспериментальное и теоретическое исследование аэродинамики элементов летательного аппарата и его частей.— М.: МАИ, 1983.
- Хиршель Э., Кордулла В. Сдвиговое течение сжимаемой жидкости.— М.: Мир, 1987.

7. Ветлуцкий В. Н., Поплавская Т. В. К расчету ламинарного сжимаемого пограничного слоя на треугольном профилированном крыле со сверхзвуковыми передними кромками // Моделирование в механике.— 1989.— Т. 3(20), № 6.
8. Шевелев Ю. Д. Трехмерные задачи теории ламинарного пограничного слоя.— М.: Наука, 1977.
9. Воскресенский Г. П., Ильина А. С., Татаренчик В. С. Сверхзвуковое обтекание крыльев.— М., 1976.— (Препр./АН СССР, Ин-т прикл. математики; № 104 — 76).
10. Воскресенский Г. П., Ильина А. С., Татаренчик В. С. Сверхзвуковое обтекание крыльев с присоединенной ударной волной // Тр. НАГИ.— 1974.— Вып. 1590.
11. Ветлуцкая Л. М., Ветлуцкий В. Н. К расчету трехмерного несжимаемого ламинарного пограничного слоя на плоской пластине с препятствием // ЧММСС.— 1980.— Т. 11, № 4.
12. Ветлуцкий В. Н., Поплавская Т. В. Расчет ламинарного пограничного слоя на подветренной стороне треугольной пластины со сверхзвуковыми передними кромками // ПМТФ.— 1989.— № 1.

г. Новосибирск

Поступила 3/11 1992 г.,  
в окончательном варианте — 1/X 1992 г.

УДК 518.517.94

С. М. Аульченко

## ПРИМЕНЕНИЕ МЕТОДА ГРАНИЧНЫХ ЭЛЕМЕНТОВ ДЛЯ РАСЧЕТА ОБТЕКАНИЯ СКОРОСТНОГО ДОЗВУКОВОГО ПРОФИЛЯ

Широкие возможности ЭВМ привели к созданию различных численных методов расчета характеристик профилей, в большинстве из них используется конечно-разностное представление определяющих уравнений в частных производных. Принципиально иным является метод дискретного распределения особенностей для расчета несжимаемого потенциального течения, изложенный в [1]. В [2] показано, что этот метод может быть распространен также на решение двумерного уравнения Пуассона с распределением особенностей не только по границе, но и внутри поля течения, тем самым он дает возможность рассматривать трансзвуковое безударное обтекание профилей.

Метод граничных элементов (МГЭ) позволяет снизить на единицу размерность задачи и значительно уменьшить время расчета, он базируется на предположении, что плотности величин, входящих в интегралы, постоянны в малых ячейках области и в каждом малом элементе границы. С учетом того что процедура МГЭ автоматически удовлетворяет допустимым граничным условиям на бесконечности, необходимо проводить дискретизацию только границы как контура проектируемого тела. Дискретизация области не увеличивает порядка окончательной системы алгебраических уравнений, в которую включено также условие Кутта — Жуковского, записанное через конечные разности. Само граничное интегральное уравнение является формулой задачи, ведущей к точному ее решению. Если численное интегрирование проводится с учетом криволинейности границы, то привносимые погрешности можно сделать очень малыми. Кроме того, численное интегрирование — всегда более устойчивый и точный процесс, чем численное дифференцирование.

Дифференциальные уравнения потенциального безвихревого невязкого течения после использования соотношений

$$(1) \quad \operatorname{div} \mathbf{v} = \frac{\partial v}{\partial s} + v \frac{\partial \theta}{\partial n}, \quad \frac{\partial v}{\partial s} = \frac{v}{M^2 - 1} \frac{\partial \theta}{\partial n}, \quad \frac{\partial v}{\partial n} = v \frac{\partial \theta}{\partial s}$$

можно записать в виде

$$(2) \quad \nabla \mathbf{v} = M^2 \frac{\partial \mathbf{v}}{\partial s}.$$

© С. М. Аульченко, 1993